

Das Kuramoto-Modell

- Vorstellung des Modells
- Analyse bei Mittlerer-Feld-Kopplung
 - Inkohärenz
 - Synchronisierung
 - partielle Synchronisierung
- Erweiterungen des Modells
- Anwendungsmöglichkeiten

Das Kuramoto-Modell

Es gibt N unabhängige Oszillatoren, die mit der Frequenz ω_i schwingen und die nach folgender Beziehung untereinander gekoppelt sind:

$$\dot{\theta}_i = \omega_i + \sum_{j=1}^N K_{ij} \sin(\theta_j - \theta_i), \quad i = 1, \dots, N$$

schwache Kopplung K_{ij} \implies Oszillatoren unabhängig

Überschreitet die Kopplung eine kritische Grenze K_c

\implies spontane Synchronisierung der Oszillatoren

Für die Form der Kopplung K_{ij} kann man verschiedene Modelle in Betracht ziehen:

Mittlere-Feld-Kopplung, Kopplung nächster Nachbarn,
hierarchische Kopplung,
zufällige langreichweitige Kopplung,
zustandsabhängige Kopplung, etc.

Mittlere-Feld-Kopplung

Definition des Kopplungsparameters:

$$K_{ij} = \frac{K}{N} > 0$$

Messung der Synchronisierung durch komplexen Ordnungsparameter:

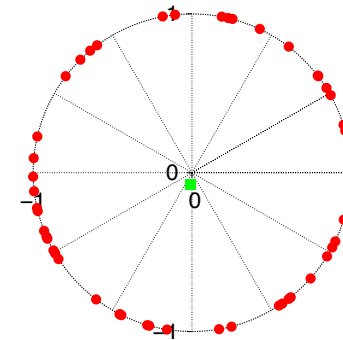
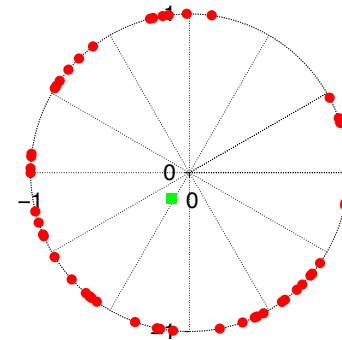
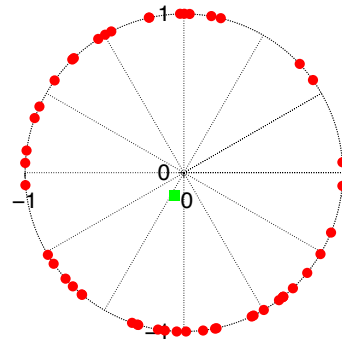
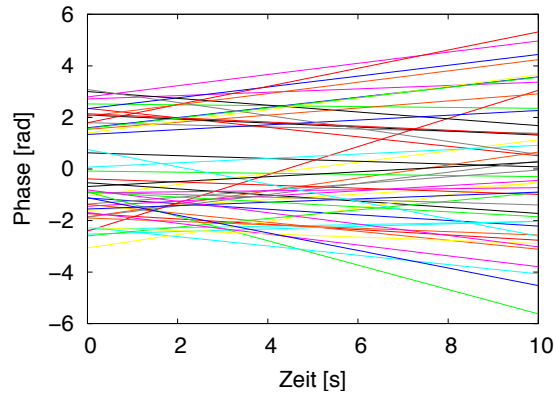
$$r e^{i\psi} = \frac{1}{N} \sum_{j=1}^N e^{i\theta_j} \quad \text{mit } r: \text{Kohärenz und } \psi: \text{mittl. Phase}$$

Für $N=\infty$ verschwindet dieser Parameter, falls die Oszillatoren nicht synchronisiert sind.

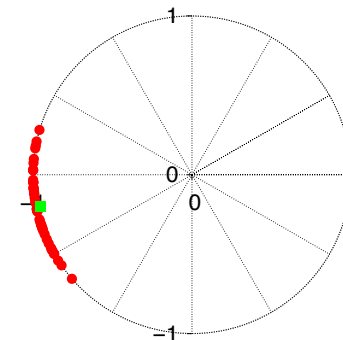
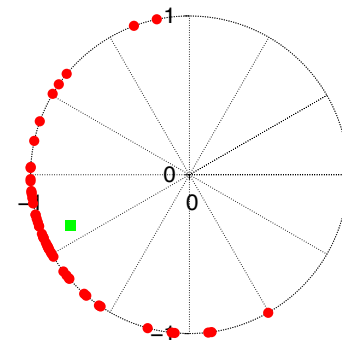
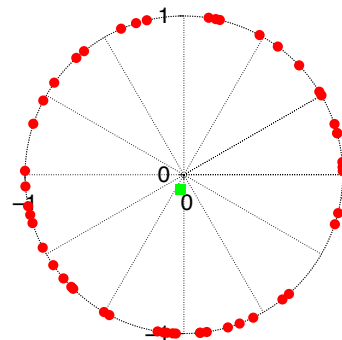
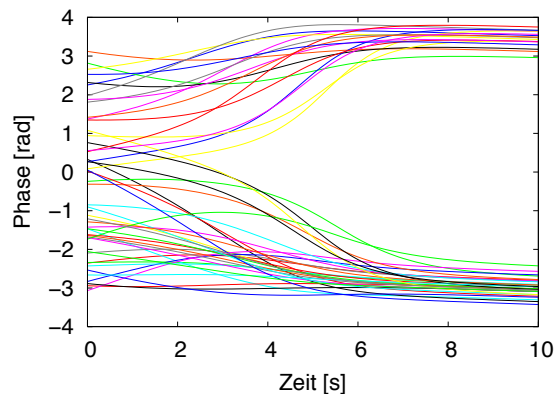
Eingesetzt in die Modelldefinition ergibt sich:

$$\dot{\theta}_i = \omega_i + K r \sin(\psi - \theta_i), \quad i = 1, \dots, N$$

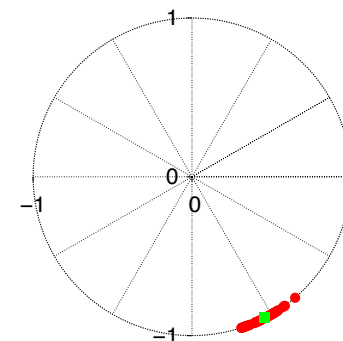
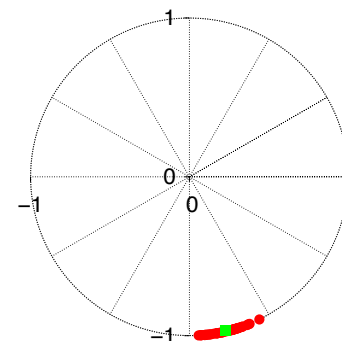
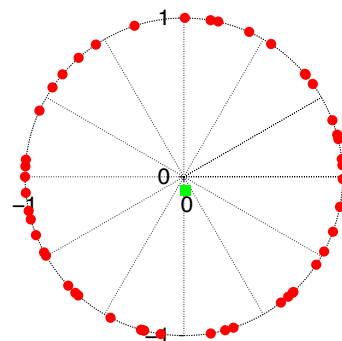
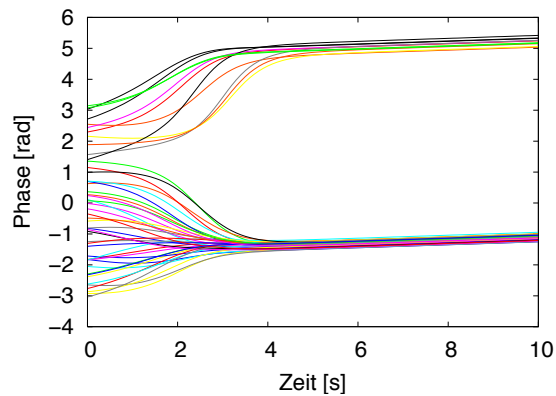
Simulation von 50 Oszillatoren



$K=0,1$



$K=1$



$K=2$

0 s

5 s

10 s

Mittlere-Feld-Kopplung, Kontinuum

Übergang auf ein Kontinuum:

$$r e^{i\psi} = \int_{-\pi}^{\pi} \int_{-\infty}^{\infty} e^{i\theta} \rho(\theta, \omega, t) g(\omega) d\theta d\omega$$

zusätzlich gilt die Kontinuitätsgleichung

$$\frac{\partial \rho}{\partial t} + \frac{\partial}{\partial \theta} \left(\underbrace{\left[\omega + K r \sin(\psi - \theta) \right]}_{=v} \rho \right) = 0$$

und die Normierungsbedingung

$$\int_{-\pi}^{\pi} \rho(\theta, \omega, t) d\theta = 1$$

man erhält als triviale Lösung die inkohärente Lösung:

$$\rho = \frac{1}{2\pi}, \quad r = 0$$

Mittlere-Feld-Kopplung, Grenzfälle

- für $K \rightarrow 0$ ist $\theta_i = \omega_i t + \theta_i(0)$
für den Ordnungsparameter ergibt sich dann

$$r e^{i\psi} = 2\pi \int_{-\infty}^{\infty} e^{i\omega t} \rho(\omega t, \omega, t) g(\omega) d\omega$$

und für $t \rightarrow \infty$ geht $r \rightarrow 0$

- für $K \rightarrow \infty$ ist $\theta_i = \psi$ (synchronisierte Oszillatoren)
also gilt

$$r e^{i\psi} = e^{i\psi} \int_{-\pi}^{\pi} \int_{-\infty}^{\infty} \rho(\theta, \omega, t) g(\omega) d\theta d\omega = e^{i\psi}$$

und somit $r \rightarrow 1$

Mittlere-Feld-Kopplung, allgemein

für $K_c < K < \infty$ sind Teile der Oszillatoren synchronisiert.

Ein solcher Oszillator mit $v = \omega - K r \sin(\psi - \theta)$

ist stabil unter folgenden Bedingungen

$$\omega \approx K r \sin(\psi - \theta) \quad \text{und} \quad -\frac{\pi}{2} \leq (\psi - \theta) \leq \frac{\pi}{2} \quad .$$

Oszillatoren mit $|\omega| > K r$ können nicht synchronisiert werden.

Man kann die rechte Seite der Gleichung für den Ordnungsparameter nach längerer Rechnung lösen:

$$r = K r \int_{-\pi/2}^{\pi/2} \cos^2 \theta g(K r \sin \theta) d\theta$$

Man erhält die triviale Lösung $r = 0$ und für $K > K_c$ einen Ast mit $r > 0$ und der allgemeinen Lösung für K_c :

$$K_c = \frac{2}{\pi g(0)}$$

Mittlere-Feld-Kopplung

Für eine Lorentzverteilung der Frequenzen

$$g(\omega) = \frac{\gamma / \pi}{\gamma^2 + \omega^2}$$

gibt es nach Kuramoto (1975) das exakte Ergebnis

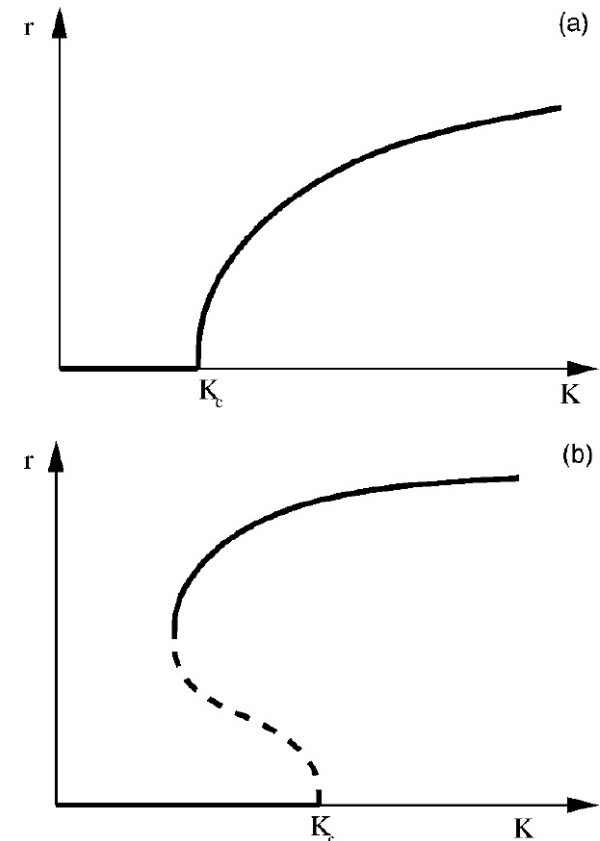
$$r = \sqrt{1 - (K_c/K)} \quad \text{für} \quad K > K_c = 2\gamma$$

Für ein allgemeines $g(\omega)$ gilt näherungsweise

$$r \sim \sqrt{\frac{-16(K - K_c)}{\pi K_c^4 g''(0)}}$$

für $K \rightarrow K_c$.

Verhalten der Bifurkation ist vom Vorzeichen von $g''(0)$ abhängig.



Erweiterungen des Modells

Einführung von Rauschen

$$\dot{\theta}_i = \omega_i + \xi_i(t) + \frac{K}{N} \sum_{j=1}^N \sin(\theta_j - \theta_i)$$

mit

$$\langle \xi_i(t) \rangle = 0, \quad \langle \xi_i(t) \xi_j(t') \rangle = 2D \delta(t - t') \delta_{ij}$$

und einer Fokker-Planck-Gleichung für die Ein-Oszillator-Dichte:

$$\frac{\partial \rho}{\partial t} = D \frac{\partial^2 \rho}{\partial \theta^2} - \frac{\partial}{\partial \theta} (v \rho) \quad \text{mit} \quad v(\theta, \omega, t) = \omega + K r \sin(\psi - \theta)$$

Mögliche Anwendung des Kuramoto-Modells

- **Neuronale Netze**

Aufklärung von Mechanismen bei verteilter neuronaler Aktivität \Rightarrow visueller Kortex

- **Beschreibung von Arrays von Josephson-Kontakten**

zur Verstärkung der Ausgangsleistung

Parallelschaltung: Kopplung nächster Nachbarn
(diffusiv)

Serienschaltung: globale Kopplung \Rightarrow Kuramoto-Modell

- **Beschreibung von Laserarrays**

ähnlich Kuramoto-Modell mit Zeitverzögerung

- **etc.**

Periodisch gepoltes LiNbO_3 (PPLN) in der nichtlinearen Optik

- Grundlagen der Nichtlinearen Optik
- Nichtlineare optische Suszeptibilität
- Erzeugung von zweiten Harmonischen
 - ▣➔ Notwendigkeit der Phasenanpassung
- Quasi-Phasenanpassung mit Hilfe von periodisch gepoltem LiNbO_3
- experimentelle Details

Grundlagen der nichtlinearen Optik

In isotropen Medien ist die Polarisation proportional zum externen Feld:

$$P(t) = \epsilon_0 \chi^{(1)} E(t) \quad \text{ohne Absorption und Dispersion}$$

Reihenentwicklung obiger Beziehung

$$P(t) = \epsilon_0 (\chi^{(1)} E(t) + \chi^{(2)} E^2(t) + \chi^{(3)} E^3(t) + \dots)$$

Zusammenfassung in Potenzen von E mit Ansatz:

$$E(t) = E_0 \cos \omega t = 1/2 E_0 (e^{-i\omega t} + e^{i\omega t})$$

$$\begin{aligned} P = & \epsilon_0 \chi^{(1)} E_0 \cos \omega t + \\ & + \epsilon_0 \chi^{(2)} 1/2 E_0^2 (1 + \cos 2\omega t) + \\ & + \epsilon_0 \chi^{(3)} 1/4 E_0^3 (3 \cos \omega t + \cos 3\omega t) \\ & + \dots \end{aligned}$$

intensitätsabhängiger Brechungsindex

Erzeugung zweiter Harmonischer

Erzeugung dritter Harmonischer

Berücksichtigung der Materialeigenschaften

reale Medien besitzen Absorption & Dispersion

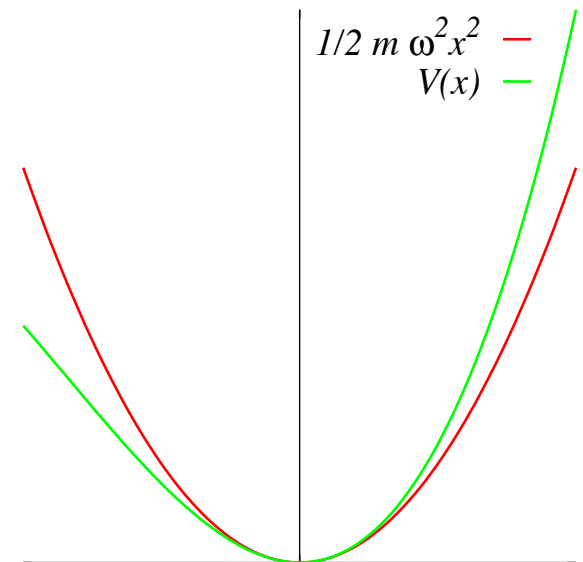
Ansatz: Lösung des Lorentz Oszillators für ein anharmonisches Potential.

$$\frac{d^2x}{dt^2} - \frac{dV(x)}{dx} = \frac{e}{m}E(t)$$

mit Reihenentwicklung des Potentials

$$\Rightarrow F = -\frac{dV}{dx} = -m\omega x^2 - 3Ax^2 - \dots$$

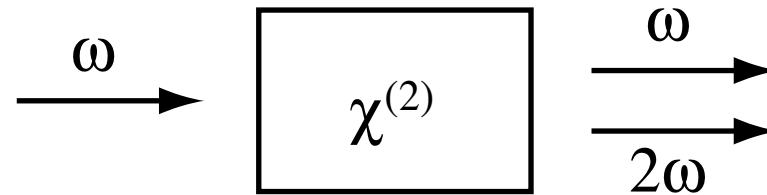
Perturbative Lösung (nl-Terme sind klein)



reale Medien sind nicht isotrop:

Suszeptibilitäten sind Tensorgrößen

Erzeugung zweiter Harmonischer



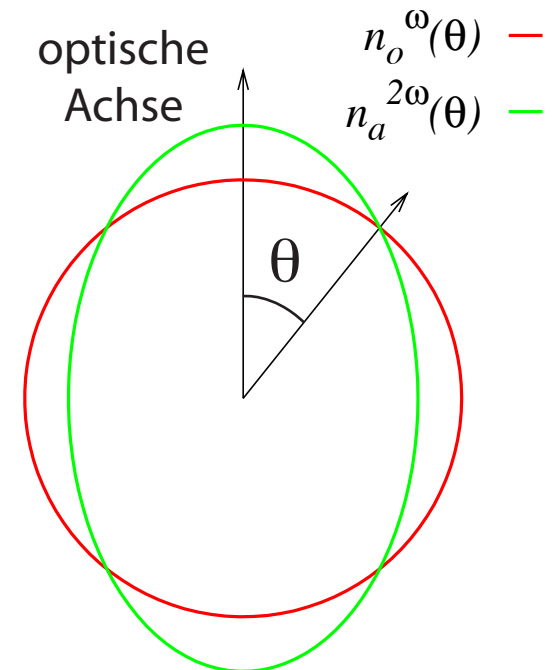
da typischerweise $n(\omega) \neq n(2\omega)$ und somit $\Delta k = 2k_\omega - k_{2\omega} \neq 0$ besteht keine feste Phasenbeziehung zwischen einfallendem Strahl und zweiter Harmonischer

⇒ schwache Konversion:

$$I_{2\omega}(l) = \Gamma^2 I_\omega(0) l^2 \frac{\sin^2(\Delta k l/2)}{(\Delta k l/2)^2}$$

mögliche Lösung:

Phasenanpassung in doppelbrechendem Kristall



NLO in doppelbrechenden Medien

- Poynting- und \mathbf{k} -Vektor sind nicht parallel
 ▣▣▣▣➔ Walk-off des Strahls
- erreichbare nichtlineare Koeffizienten sind klein
- Strahlwinkel und Temperatur des Mediums sind wellenlängenabhängig und eingeschränkt

Nichtlineare Effekte mit periodisch modulierten Materialeigenschaften

- Idee: Armstrong [Phys. Rev. **127**, 1918 (1962)], bereits vor der Verwendung von doppelbrechenden Kristallen
- zu dieser Zeit keine Möglichkeit der Herstellung

Quasi-Phasenanpassung (QPM)

LiNbO₃: transparent von 0.35 bis >4 μm

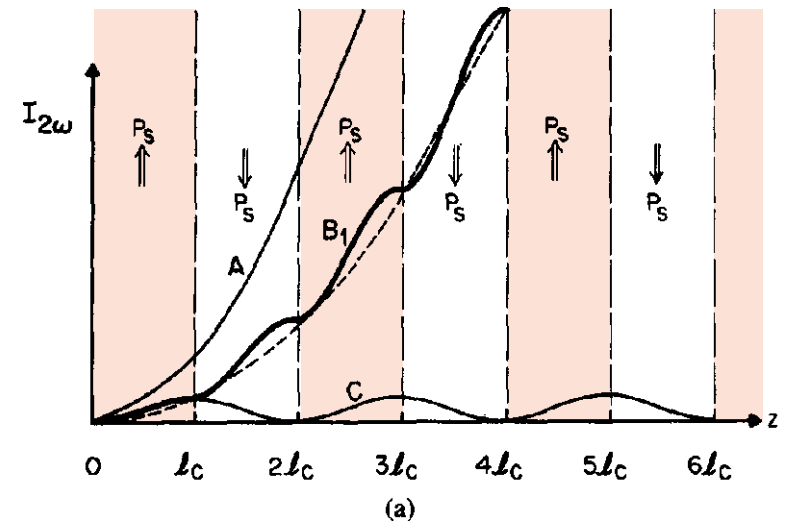
Antiparallele ferroelektrische Domänen \implies
Vorzeichenwechsel in nichtlinearen Koeffizienten

Fundamentale Welle: ω_1 } n_1
Polarisationswelle: $\omega_2 = 2\omega_1$ }
zweite Harmonische: ω_2 } n_2

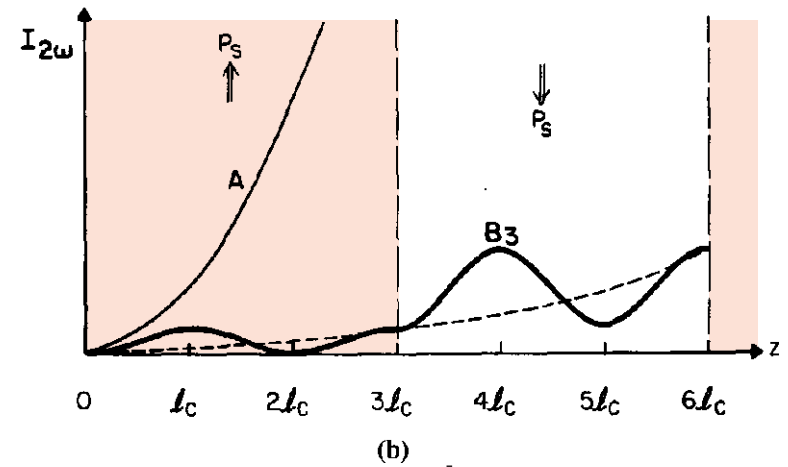
„Kohärenzlänge“ $l_c = \lambda/4(n_2 - n_1)$
bestimmt Energietransport

Abfolge von Domänen mit jeweils
antiparalleler spontaner Polarisation P_S

QPM 1. Ordnung



Fejer et. al., IQJE **28**, 2631 (1992)



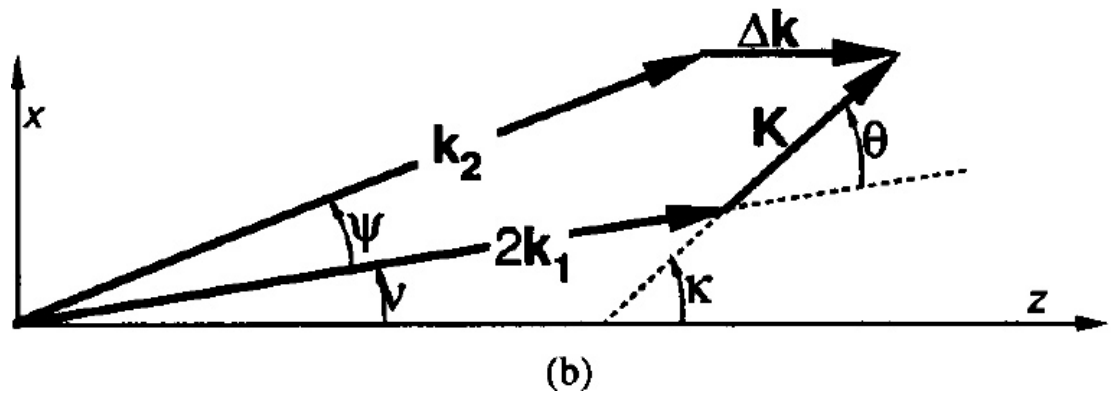
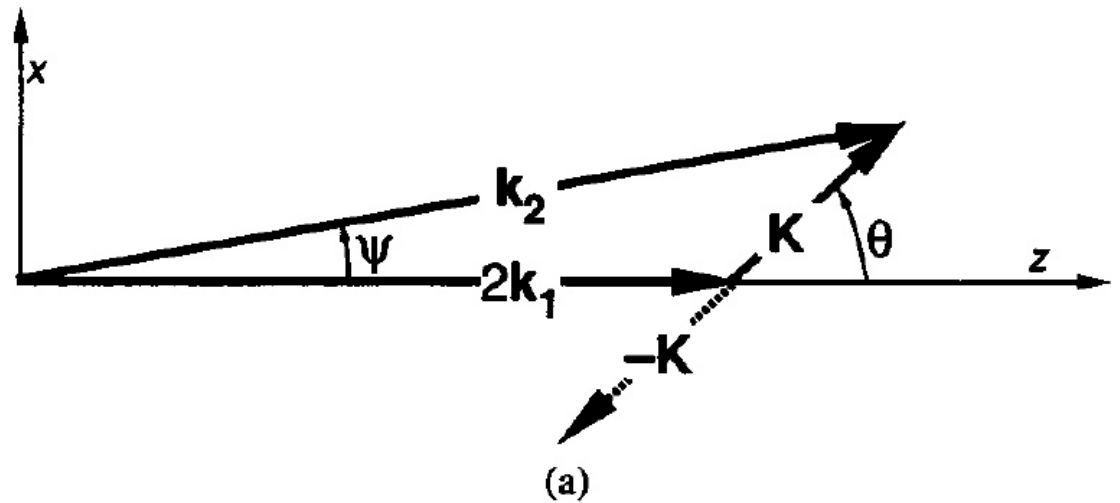
QPM 3. Ordnung

Quasi-Phasenanpassung im k-Raum

QPM kann auch in isotropen Medien erreicht werden.

Gittervektor \mathbf{K} der Modulierung.

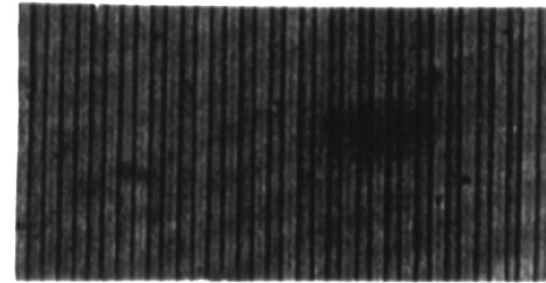
Wie bei der Phasenanpassung in doppelbrechenden Kristallen \Rightarrow Abhängigkeit vom Einfallswinkel



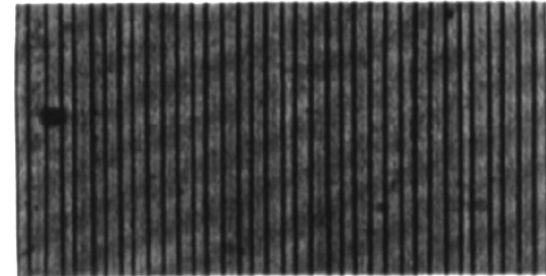
Fejer et. al., IQJE **28**, 2631 (1992)

Verwendung periodisch gepolter Kristalle

mit HF geätztes
PPLN zeigt die
Domänenstruktur

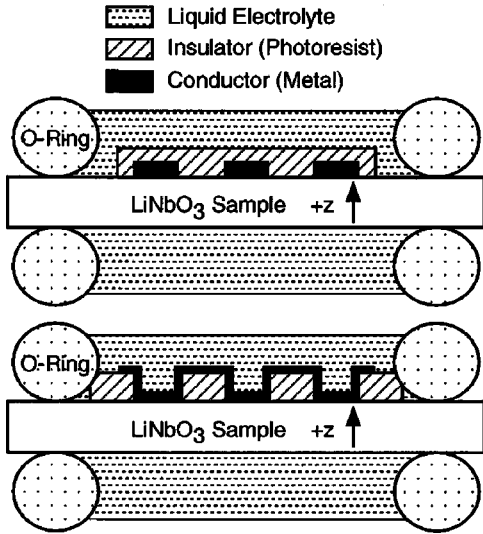


a



b

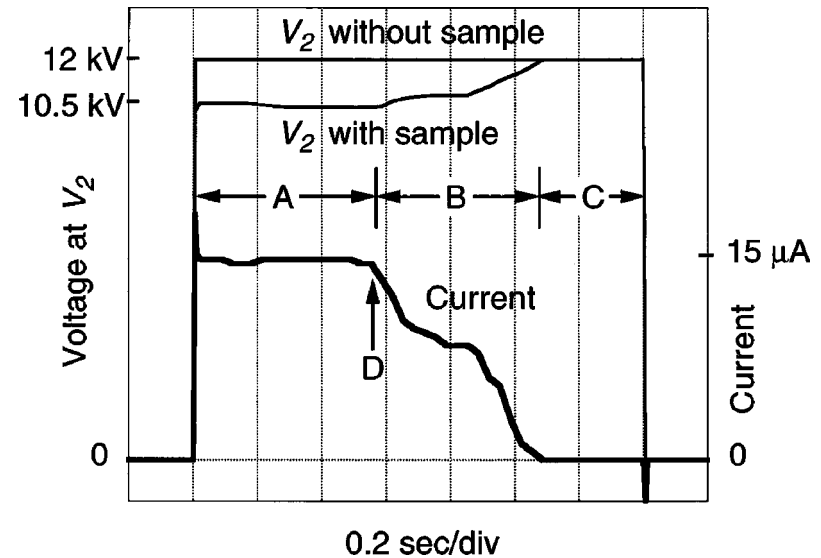
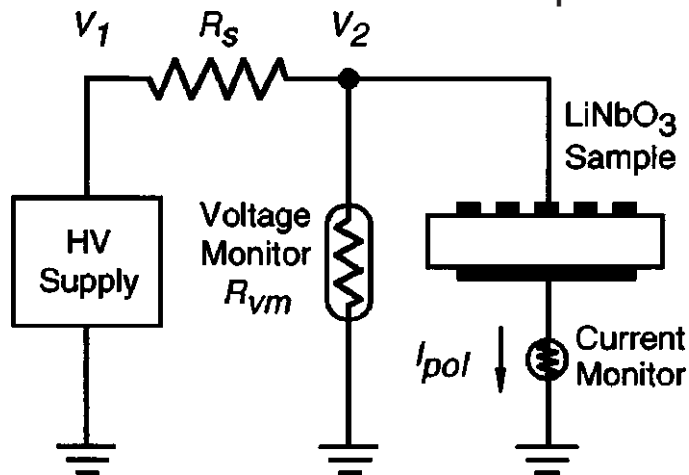
Pruneri et al. OL **20**, 2375(1995)



Kontaktierung der
Oberflächen

Myers et al. JOS **12**, 2102(1995)

Schaltung und
Spannungsverlauf



Vorteile von periodisch gepolten Medien

- Die ω und 2ω Polarisierungen können so gewählt werden, dass die Kopplung über das größte Element des Tensors $\chi^{(2)}$ geht.
Verbesserungen um bis zu einem Faktor 20 sind möglich.
- keine Einschränkungen in der Wellenlänge.
- Auch Zugang zu Koeffizienten höherer Ordnung
- Flexibilität des strukturierten Elektrodengitters:
 - multiple Wellenlängen /
Breitbandphasenanpassung
 - fächerförmige Strukturen
- Vielfältiger Einsatz zur Verstärkung nichtlinearer Effekte (OPOs, höhere Harmonische, ...)

Erzeugung von Summenfrequenzen

$$E(t) = E_1 e^{-i\omega_1 t} + E_2 e^{-i\omega_2 t} + \text{c.c.}$$

$$P^2(t) = \epsilon_0 \chi^{(2)} E^2(t)$$

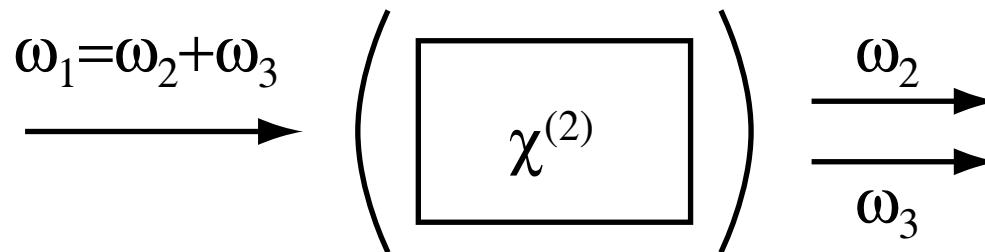
$$\begin{aligned} P^{(2)}(t) = \epsilon_0 \chi^{(2)} & (2E_1^2 \cos 2\omega_1 t + && \text{(SHG)} \\ & + 2E_2^2 \cos 2\omega_2 t + && \text{(SHG)} \\ & + 4E_1 E_2 \cos(\omega_1 t + \omega_2 t) + && \text{(SFG)} \\ & + 4E_1 E_2 \cos(\omega_1 t - \omega_2 t) + && \text{(DFG)} \\ & + 2(E_1^2 + E_2^2)) && \text{(OR)} \end{aligned}$$

Optische Parametrische Oszillatoren

Parametrischer Prozess: nach dem Prozess entspricht der Quantenmechanische Zustand des Systems den Zustand vor dem Prozess.

Im Falle der Erzeugung von Differenzfrequenzen: Strahlung bei Frequenzen ω_2 und ω_3 kann die Emission weiterer Photonen bei diesen Frequenzen stimulieren.

▣► Einbau des nichtlinearen Kristalls in einen Resonator.

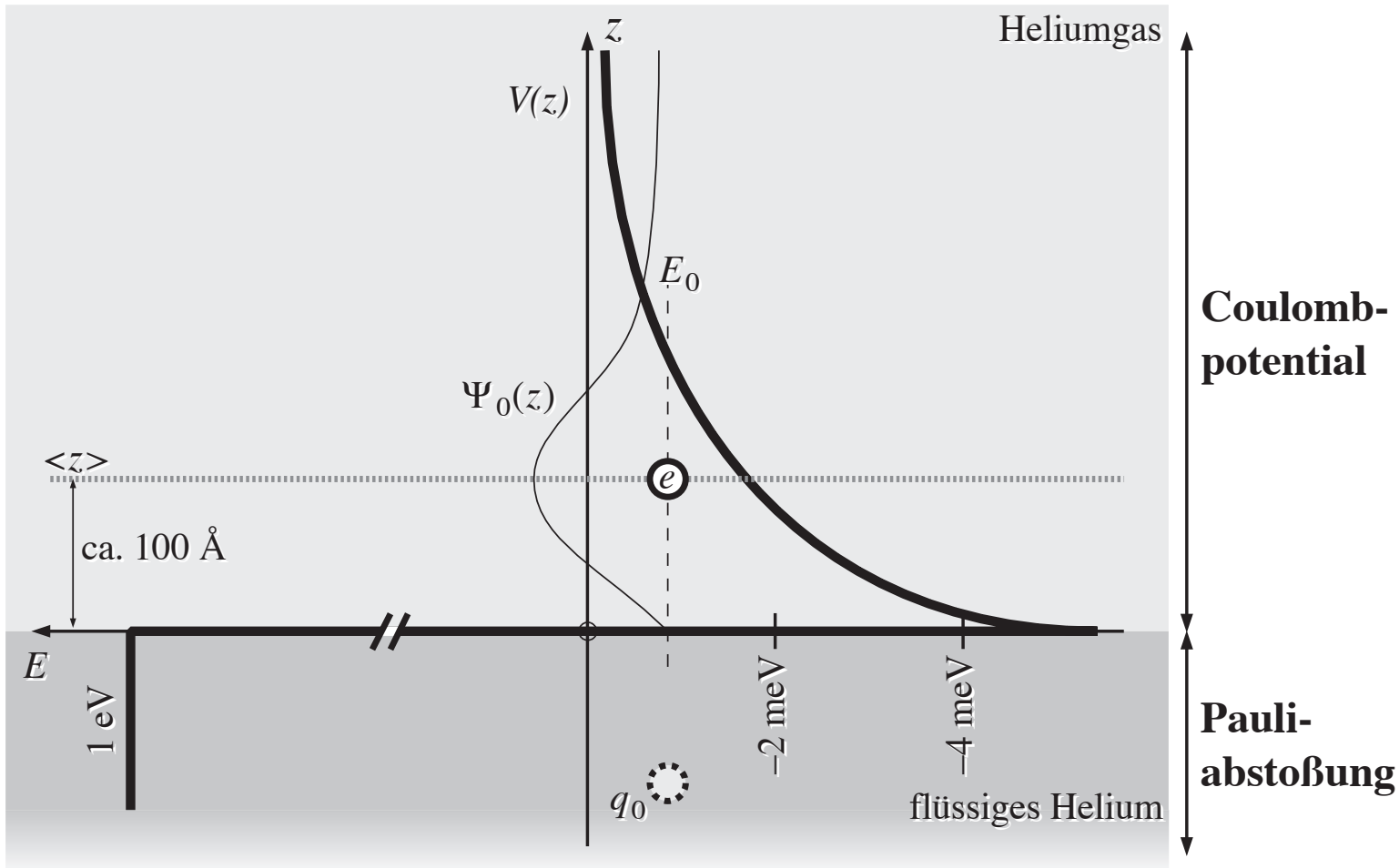


Hochfrequenzuntersuchungen von zweidimensionalen Elektronensystemen auf dünnen Heliumfilmen

Agenda

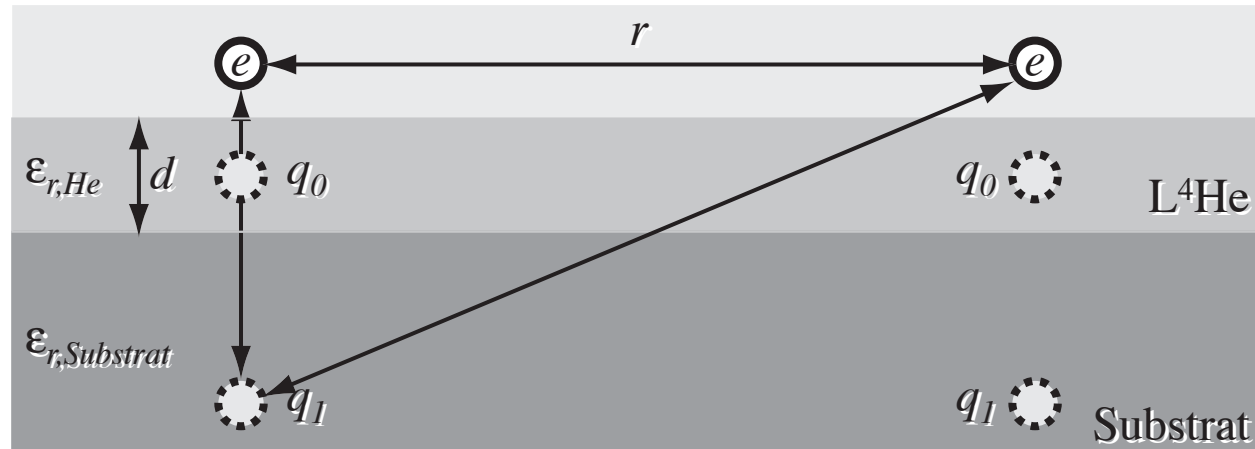
- Einführung in das System “Elektronen auf Helium”
 - Grundlagen
 - Bestimmung der Elektronendichte
- Experiment: Beladung von Heliumfilmen mit Elektronen
 - Experimenteller Aufbau und Methoden
 - Ergebnisse für geringe Elektronendichten
 - Hohe Elektronendichten und Probleme mit der Reproduzierbarkeit
- Das Zwei-Komponenten-Modell von Elektronen
 - Allgemeine Einführung
 - Erklärung von Messungen der Zyklotronresonanz
- Zusammenfassung und Ausblick

Elektronen auf flüssigem Helium



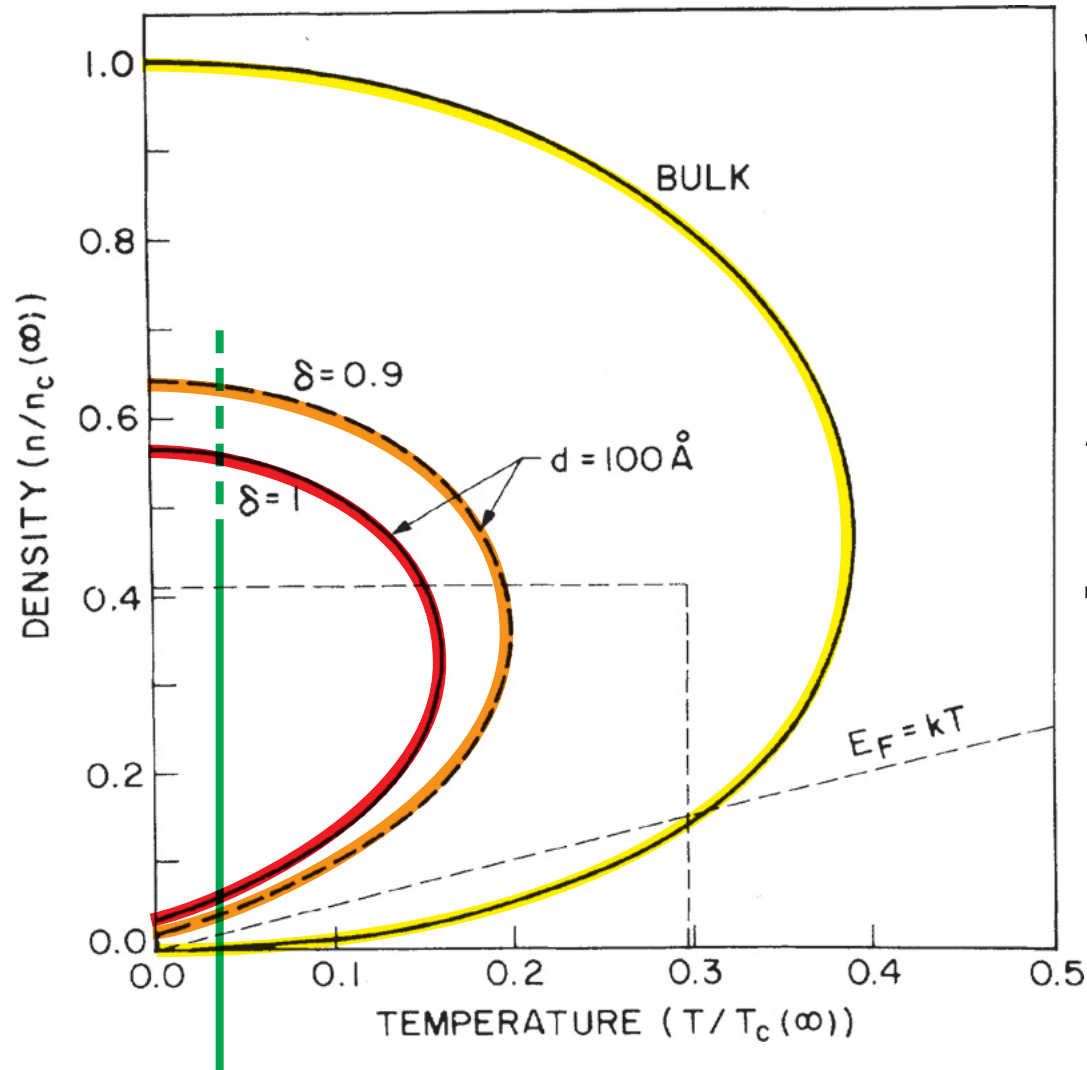
$$V(z) = \begin{cases} V_0 & z \leq 0 \\ -\frac{1}{4\pi\epsilon_0} \frac{q_0 e^2}{z+\beta} & z > 0 \end{cases} \quad \text{mit:} \quad \begin{aligned} V_0 &\approx 1\text{eV} \\ q_0 &= \frac{\epsilon_{L4\text{He}} - 1}{4(\epsilon_{L4\text{He}} + 1)} \end{aligned}$$

Elektronen auf dünnen Heliumfilmen



- Stabilisierung des Films durch van-der-Waals-Kräfte
→ höhere Elektronendichten erreichbar
- Elektron-Elektron Wechselwirkung bekommt Dipolcharakter
→ Veränderung des Phasendiagramms
- stärkere Bildladung im Substrat
→ Bindung der Elektronen wird stärker
- Oberflächenrauigkeit beeinflusst das System
→ Auswirkungen auf die Messergebnisse

Das Phasendiagramm eines 2DES auf Helium



Wichtige Energien:

therm. Energie = *const.*

Coulombenergie $\propto \sqrt{n}$

Fermienergie $\propto n$

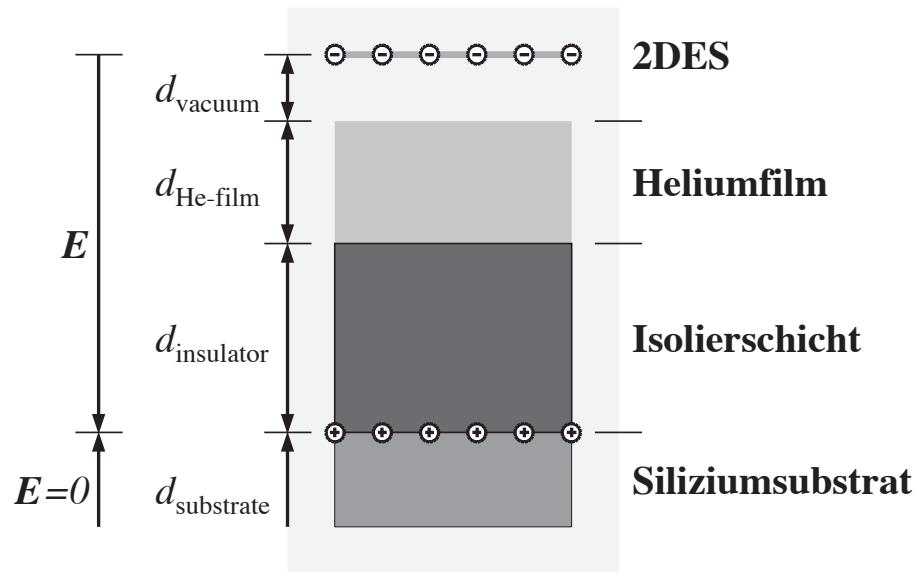
Abschätzung von F. Peeters,
PRL **50**, 2021(1983):

$$\rightarrow T_c(\infty) = 33 \text{ K}$$

$$n_c(\infty) = 2.4 \times 10^{16} \text{ m}^{-2}$$

experimenteller Pfad

Bestimmung der Elektronendichte



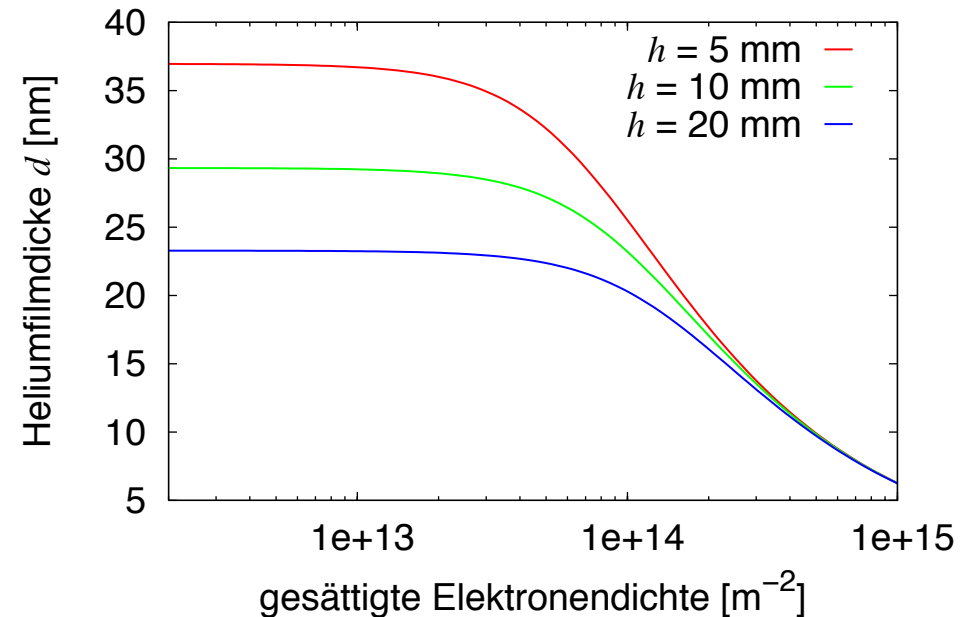
Sättigung des 2DES:
Elektrisches Feld oberhalb
verschwindet

$$n_s = \frac{Q}{eA} = \frac{U_{\text{clamp}} \epsilon_0}{e} \frac{1}{\frac{d_{\text{vacuum}}}{1} + \frac{d_{\text{He-film}}}{\epsilon_{r, \text{He-film}}} + \frac{d_{\text{insulator}}}{\epsilon_{r, \text{insulator}}}}$$

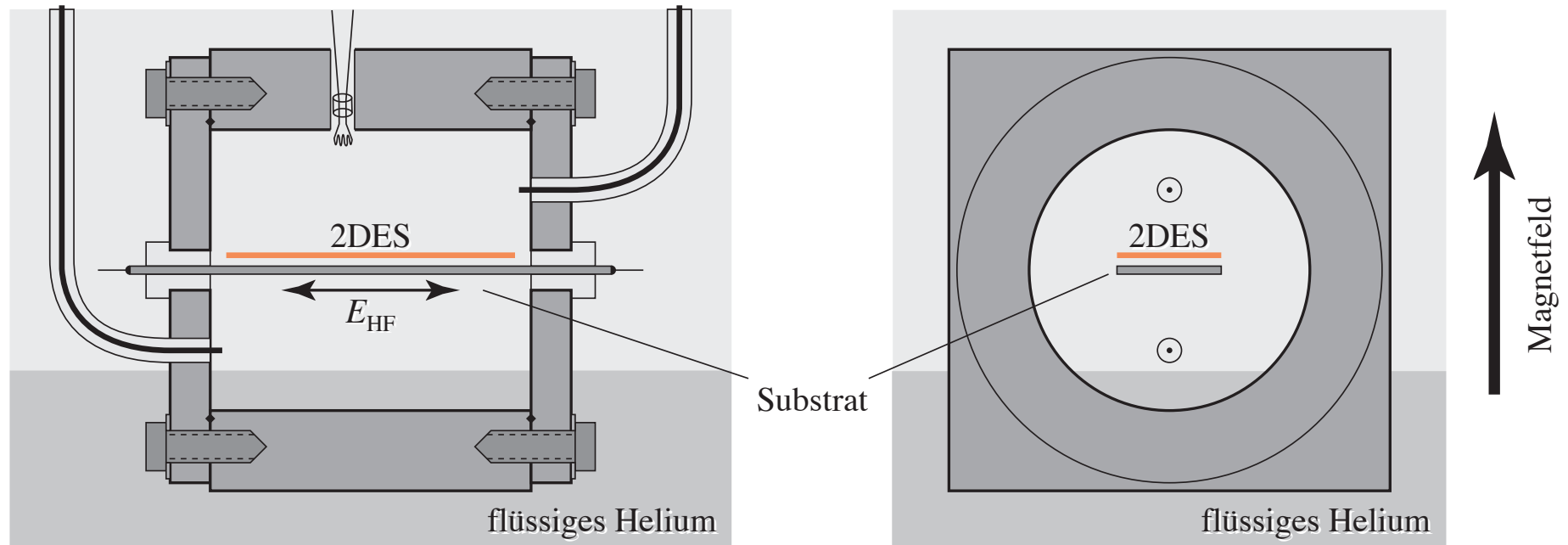
Abhängigkeit der Filmdicke von der
Elektronendichte:

$$d = d_0 \left(1 + \frac{n_s^2 e^2}{2 \epsilon_0 \rho g h} \right)^{-\frac{1}{3}}$$

Etz et. al., PRL **53**, 2567 (1984)

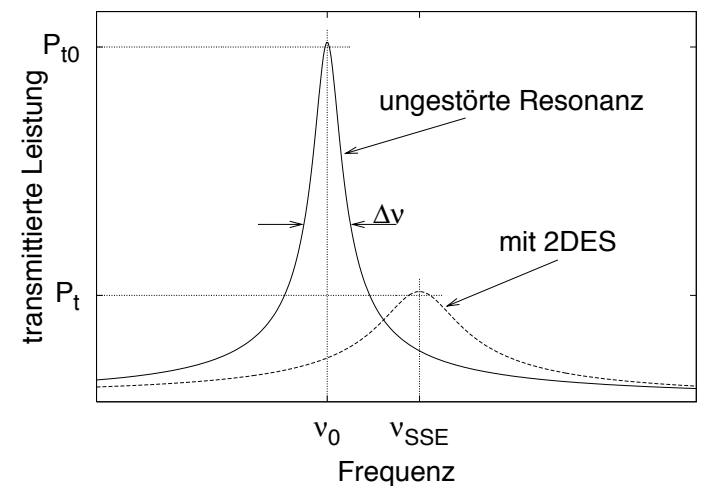


Aufbau des Experiments

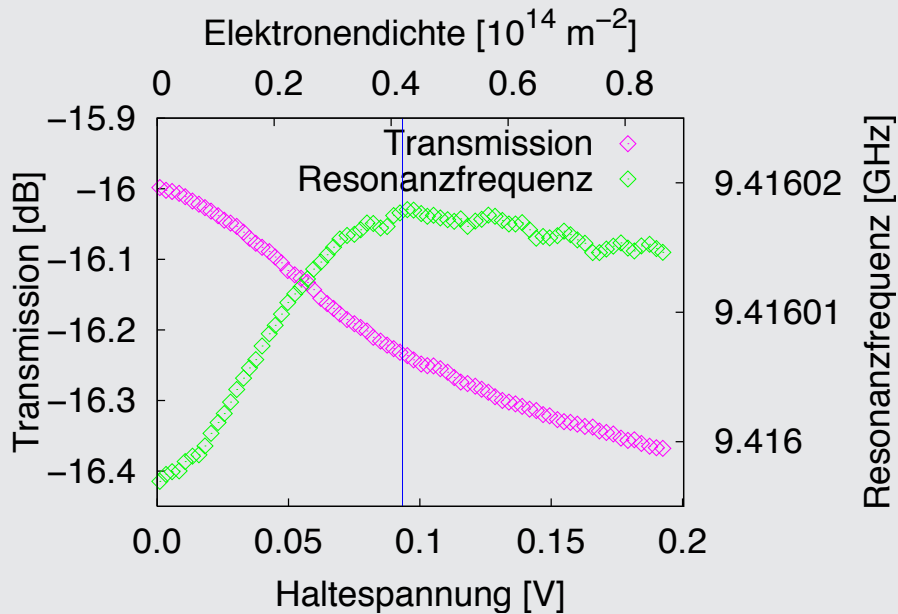


Mikrowellenresonator in vakuumdichter Zelle
im Badkryostat:

- Resonanzfrequenz ≈ 10 GHz
- Messung der Transmission im Bereich der Resonanz
- neuer Messaufbau: Frequenzsweeps mit Kurvenanpassung der Resonanzlinie



Analyse der Messdaten



PMMA/Silizium Substrat

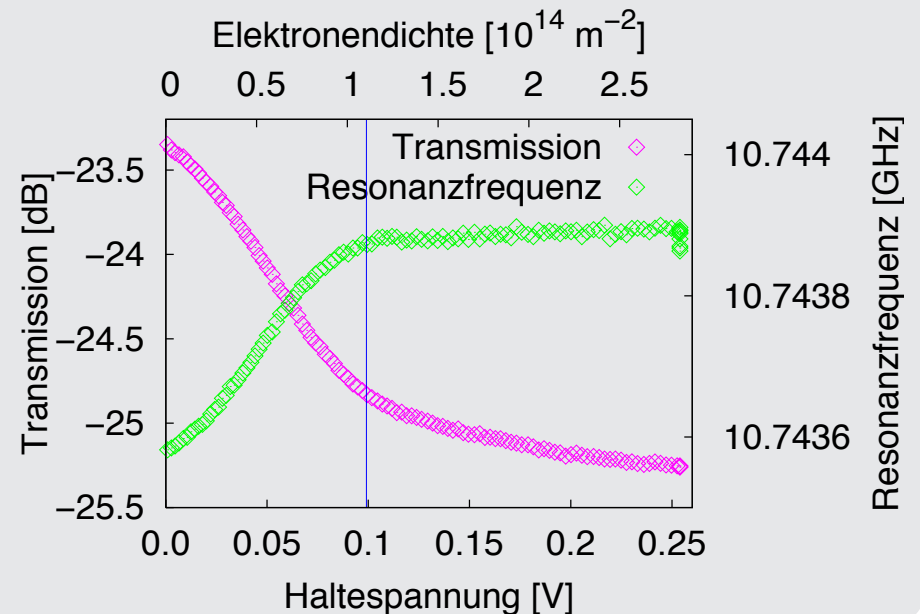
$T = 1.29 \text{ K}, \Gamma = 117 \pm 12$

$n_{\text{WC}} = 3.9 \times 10^{13} \text{ m}^{-2}$

SiO₂/Silizium Substrat

$T = 1.30 \text{ K}, \Gamma = 123 \pm 10$

$n_{\text{WC}} = 1.2 \times 10^{14} \text{ m}^{-2}$

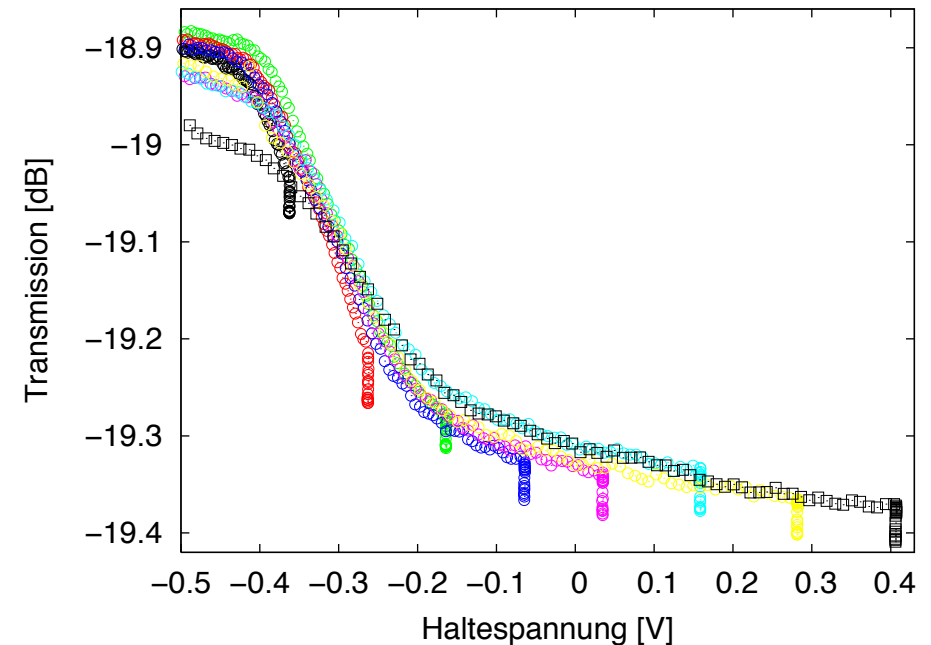
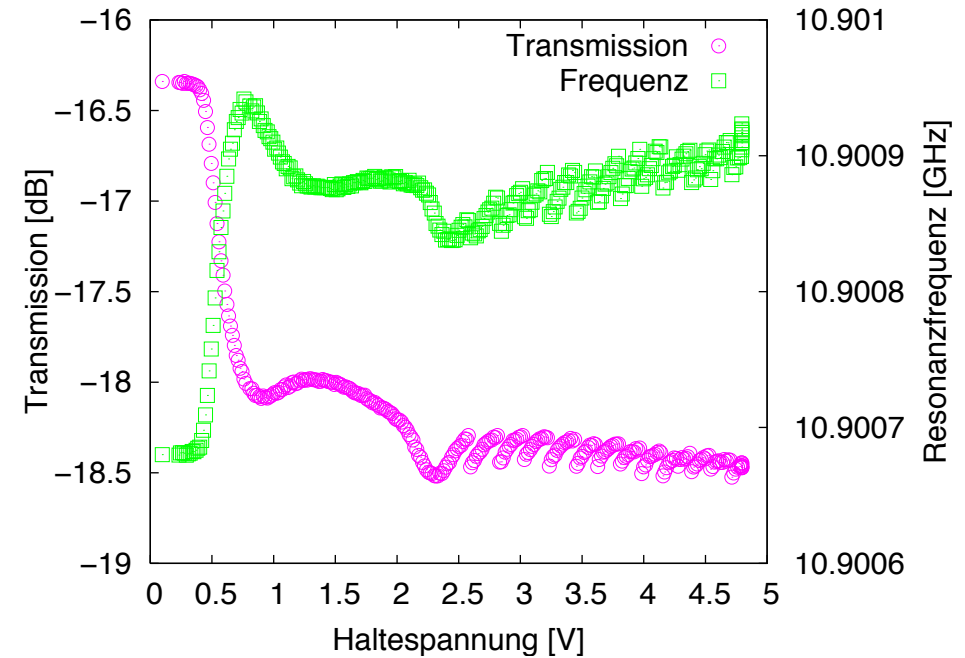


hohe Elektronendichten

Auftretende Schwierigkeiten:

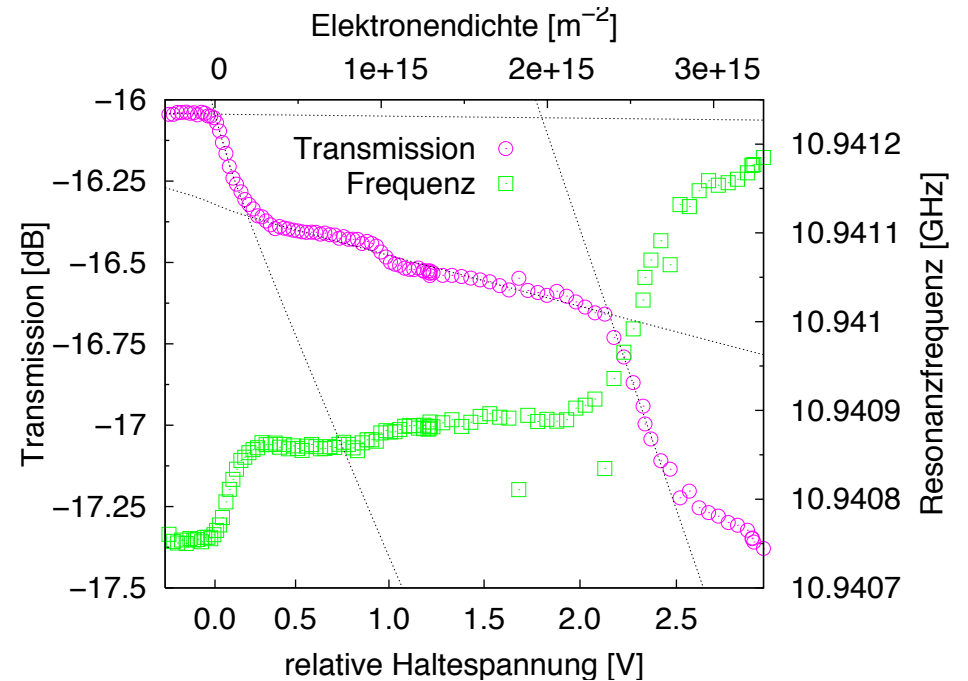
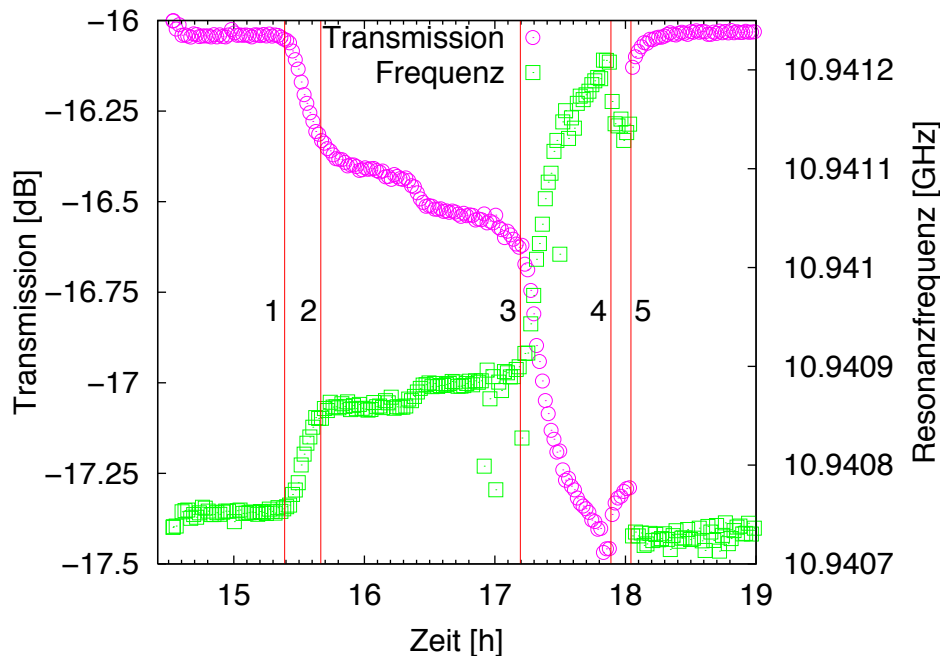
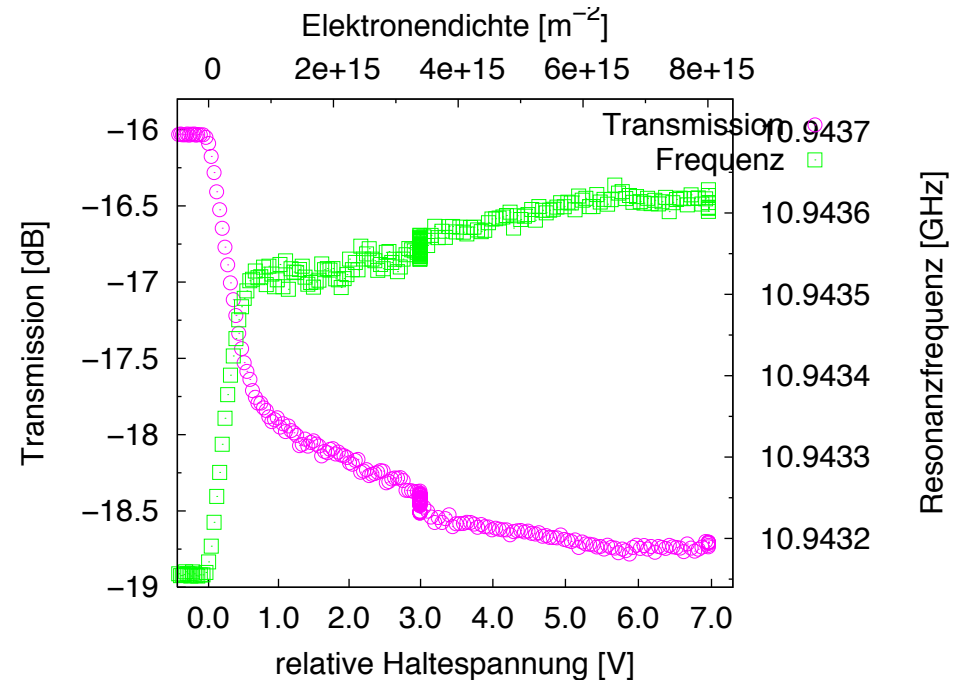
- plötzliches Durchbrechen von Elektronen auf das Substrat
- mit sinkender Filmdicke steigt die Tunnelwahrscheinlichkeit
- auch lokalisierte Elektronen können zur Absorption beitragen
- Sättigungsdichte wird aufgrund von Elektronenverlusten nicht erreicht

Erkennung dieser Prozesse durch Serien von Beladevorgängen

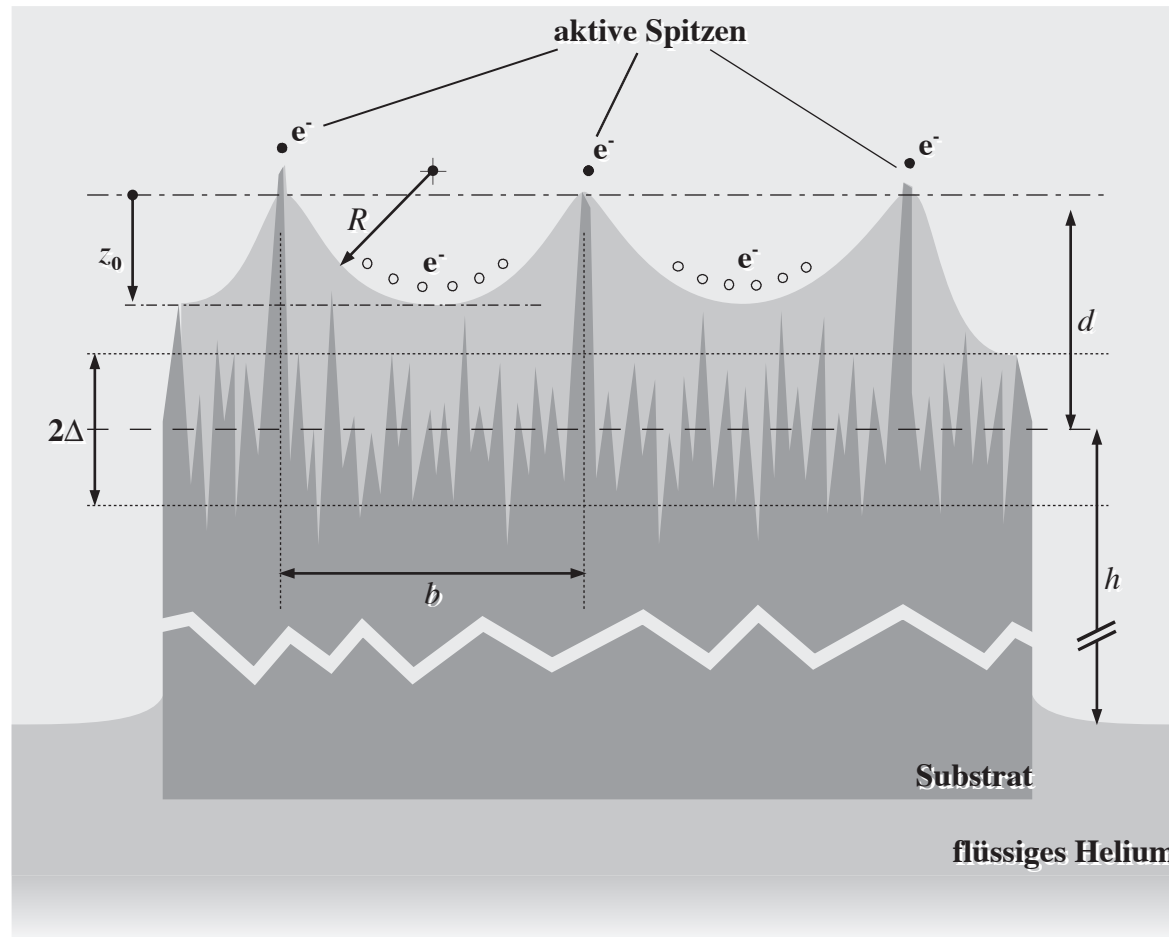


hohe Elektronendichten

verschiedene Verhaltensweisen
werden sichtbar



Das Zweikomponentenmodell von Elektronen auf dünnen Heliumfilmen



- freie und lokalisierte Elektronen liefern einen Beitrag
- Modellierung der Oberfläche und des Heliumfilms

Anwendung des Zweikomponentenmodells: Zyklotronresonanz auf dünnen Heliumfilmen

Die GesamtabSORPTION setzt sich aus der Absorption der freien und lokalisierten Elektronen zusammen:

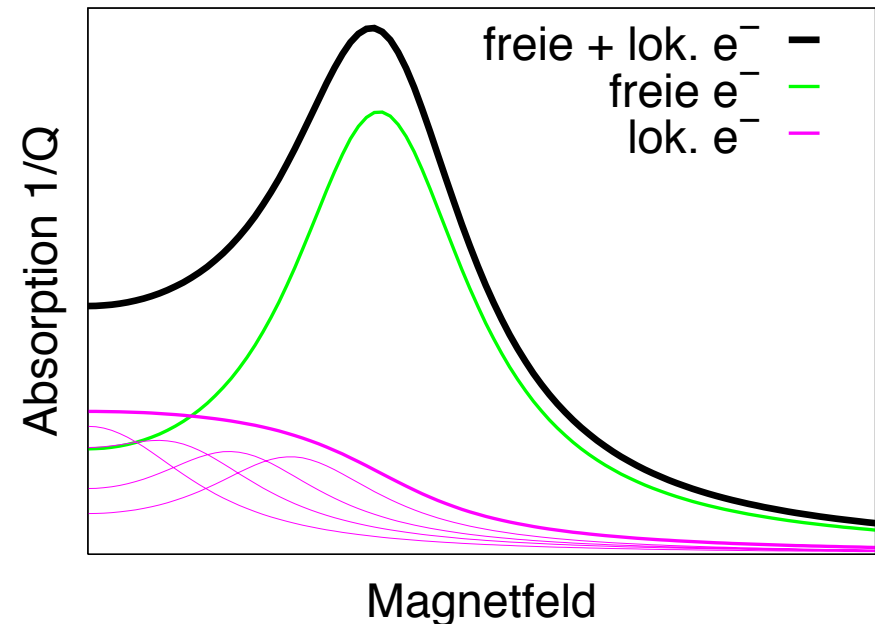
$$Q^{-1} = Q_e^{-1} + Q_l^{-1}$$

Der Anteil freier Elektronen ist nach Drude gegeben durch:

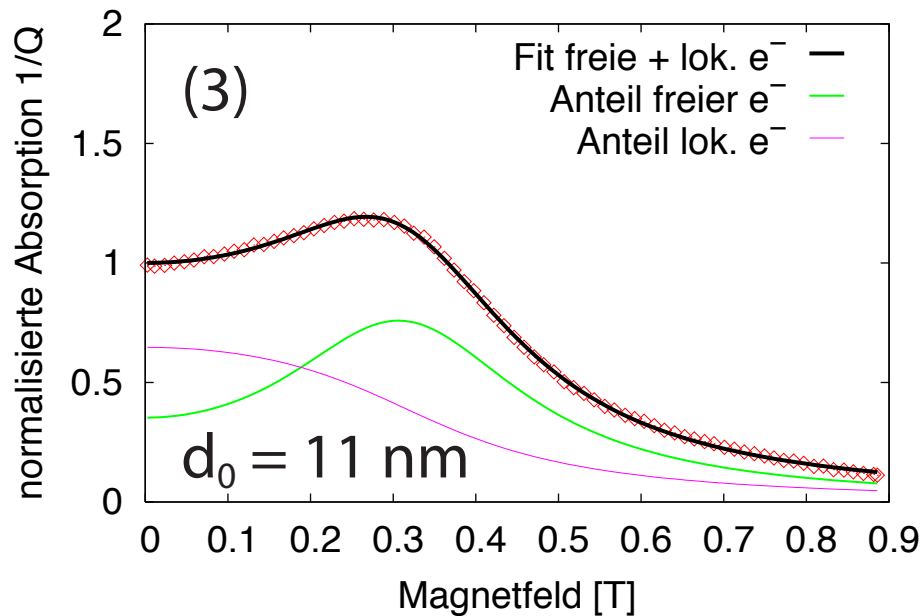
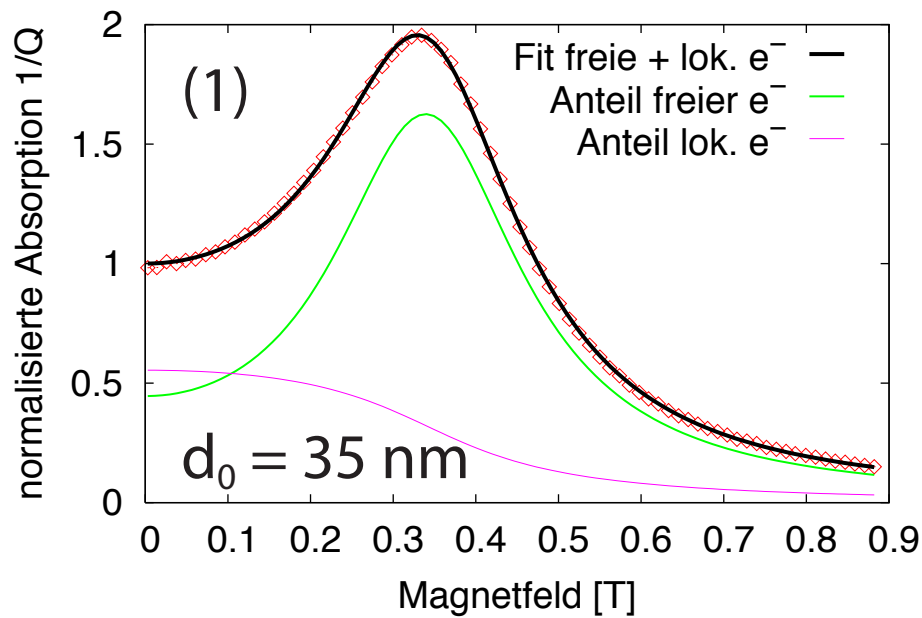
$$Q_e^{-1} \propto n_e \frac{1 + z + x}{(1 - z + x)^2 + 4z}$$

Der Anteil der lokalisierten Elektronen resultiert aus der modellierten Verteilung der Lokalisierungspotentiale:

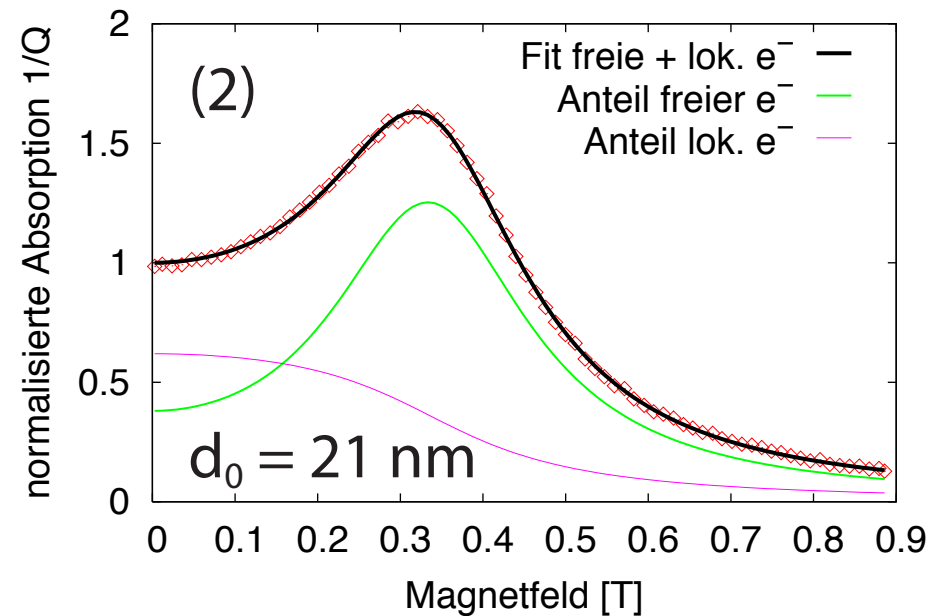
$$Q_l^{-1} \propto n_l \frac{\arctan \frac{\sqrt{z}}{1+x+\sqrt{xz}} + \arctan \frac{\sqrt{z}}{(1+x)\sqrt{z}-z\sqrt{x}} + c(z, x)}{2\sqrt{z}}$$



Zyklotronresonanz von 2DES auf dünnen He-Filmen



Verringerung der Filmdicke



Analyse der Ergebnisse

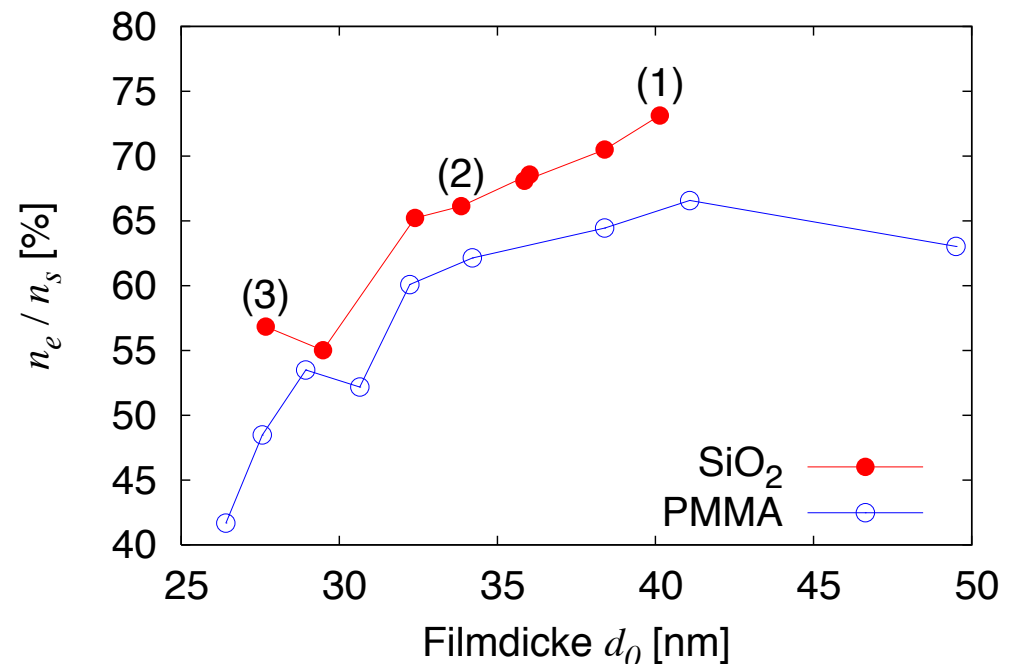
Kurvenanpassung an die gemessenen Daten durch

$$Q^{-1} = A Q_e^{-1}(\omega, \omega_c, \tau) + A_l Q_l^{-1}(\omega, \omega_c, \tau) + c_0 \quad \text{freie Parameter}$$

Die Anteile freier und lokalisierter Elektronen ergeben sich aus dem Verhältnis von Q_e^{-1} und Q_l^{-1} :

Qualitative Analyse:

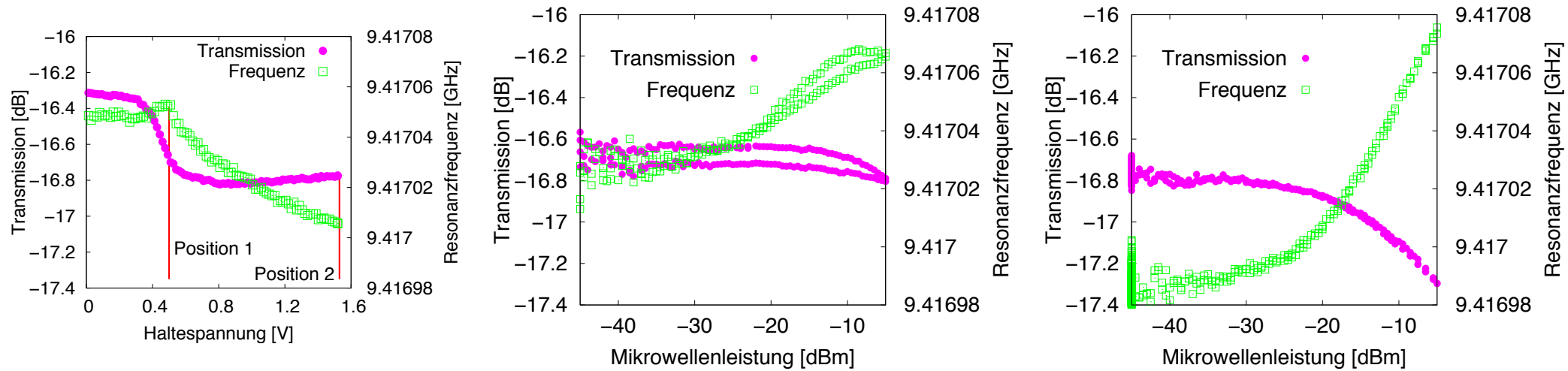
- SiO_2 ist glatter als PMMA
- Die Modellrauigkeit liegt im erwarteten Bereich



Zusammenfassung

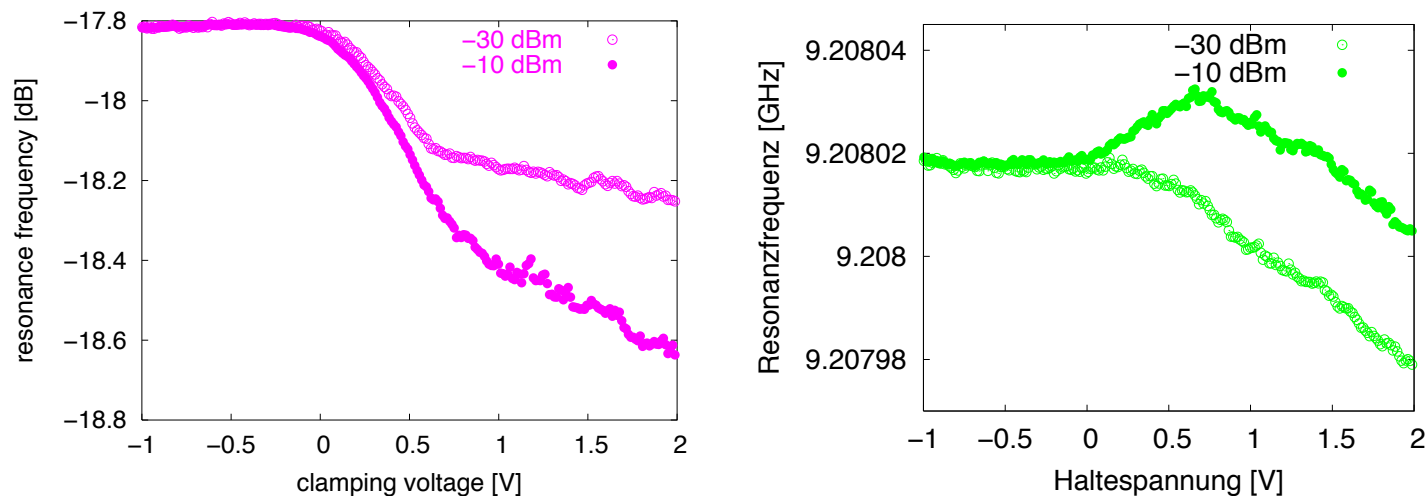
- Auf dünnen Heliumfilmen sind Elektronendichten in der Größenordnung 10^{14} m^{-2} erreichbar.
- Zu höheren Elektronendichten hin muss durch Beladeserien sichergestellt werden, dass Artefakte durch Elektronenverlust und Beladung der Substratoberfläche entdeckt werden.
- Sehr glatte, saubere Substrate sind die Voraussetzung für ein hohes Signal-/Rauschverhältnis der Messergebnisse.
- Die Auswertung von Messungen der Zyklotronresonanz mit dem Zwei-Komponenten-Modell kann zur Charakterisierung der Substratoberflächen verwendet werden.
- Die Messmethode mit dem Netzwerkanalysator bietet neue Möglichkeiten.

Abhängigkeit von der Anregungsstärke

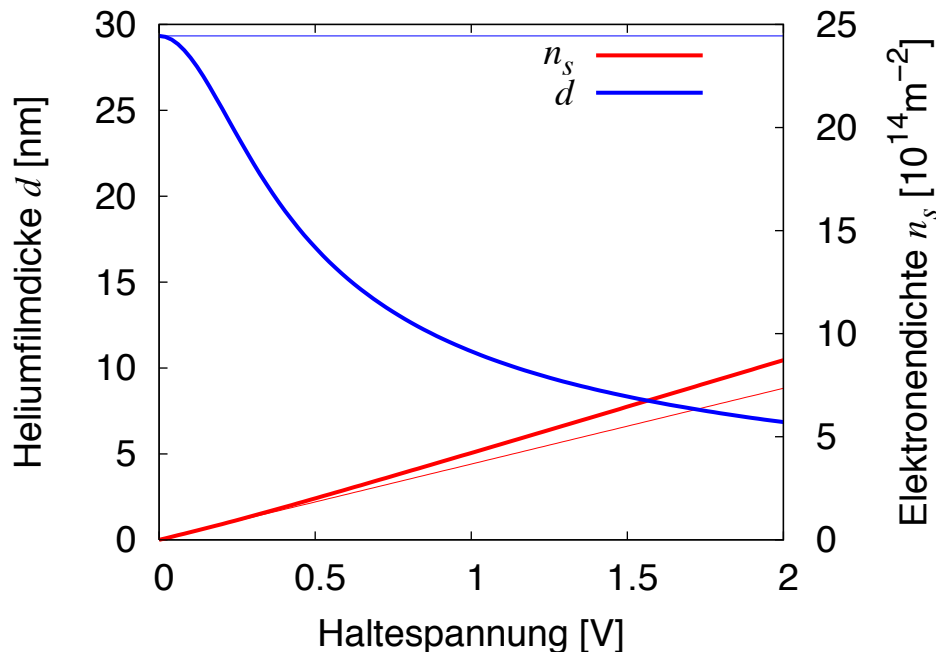


Sweep der Anregungsstärke in der flüssigen und kristallinen Phase

Beladung und Messung mit 2 verschiedenen Anregungsstärken



Bestimmung der Elektronendichte



Ergebnisse der selbstkonsistenten Rechnung

Elektronen auf Helium auf 200 nm PMMA

($\epsilon = 1.7$)

Elektronen auf Helium auf
200 nm SiO_2
($\epsilon = 5$)

